

## اثر شوری بر بیان ژن‌های کلیدی متابولیسم فروکتان در گندم در مرحله گلدهی

Effect of salt stress on expression of key genes in fructan metabolism in wheat at anthesis

ماهرخ شریتخواری<sup>۱</sup>، زهرا سادات شیر<sup>۲\*</sup>، راضیه سرابادانی<sup>۳</sup>، صغیر علوی<sup>۴</sup>

۱- دانشجوی دکتری، دانشگاه علوم کشاورزی و منابع طبیعی گرگان

۲- به ترتیب استادیار و کارشناس ارشد پژوهشکده بیوتکنولوژی کشاورزی ایران، کرج

۳- دانشجوی دکتری، پردیس کشاورزی و منابع طبیعی، دانشگاه تهران

Sharbatkhari M<sup>1</sup>, Shobbar ZS<sup>\*2</sup>, Sarabadiani R<sup>3</sup>, Alavi S<sup>2</sup>

1. PhD Student , Gorgan University of Agricultural Sciences and Natural Resources, Gorgan, Iran.

2. Assistant Professor, MSc Student, Agricultural Biotechnology Research Institute of Iran(ABRII), Karaj

3. PhD Student, University of Tehran, Karaj, Iran.

\* نویسنده مسئول مکاتبات، پست الکترونیکی: shobbar@abrii.ac.ir

(تاریخ دریافت: ۹۲/۰۳/۱۲ - تاریخ پذیرش: ۹۲/۱۲/۱۱)

### چکیده

تحصیل فروکتان‌ها که از ذخایر اصلی ساقه گندم هستند در دوره شوری افزایش می‌یابد. انتقال مجدد این ذخایر به دانه می‌تواند در ممانعت از افت شدید عملکرد نقش مهمی ایفا کند. بهمنظور مطالعه اثر شوری بر الگوی بیان ژن‌های کلیدی مسیر متابولیسم فروکتان گندم، بیان ژن‌های ساکارز-ساکارزفروکتوزیل ترانسفراز (*I-SST*) و ساکارز-فروکتان فروکتوزیل ترانسفراز (*I-FEH*-6-SFT) دخیل در بیوستز فروکتان، فروکتوزیل اگزوهیدرولاز (*I-FEH*) و اینورتاز واکوئی (*IVR*) به ترتیب دخیل در تجزیه فروکتان و ساکارز و ژن مربوط به ناقل ساکارز (*SUT1*) در ارقام متتحمل به و حساس قدس بررسی شد. تیمارهای شاهد و شوری از طریق آب آبیاری به ترتیب با هدایت الکتریکی ۰/۵ و ۱۲ دسی زیمنس بر متر از مرحله گیاهچه‌ای، به صورت فاکتوریل در قالب طرح کاملاً تصادفی با سه تکرار اعمال و بیان ژن‌های نامبرده در بافت‌های برگ و ساقه در گلدهی به روش Real time PCR و مقدار فروکتان ساقه طی پر شدن دانه در پنج نوبت به فاصله یک هفته اندازه‌گیری شد. طی شوری بیان ژن *I-SST* و *I-FEH*-6-SFT ساقه رقم متتحمل به افزایش معنی‌داری یافت که با افزایش فروکتان همراه بود در صورتی که بیان این دو ژن در ساقه رقم حساس قدس کاهش یافت و افت فروکتان ساقه را به دنبال داشت. بیان ژن‌های *SUT1* و *I-FEH*-6-SFT برگ نیز در هر دو رقم طی شوری افزایش معنی‌دار داشت. نتایج این مطالعه نشان داد که بازترین تفاوت ارقام به و قدس از نظر تأثیر شوری بر بیان ژن‌های کلیدی متابولیسم فروکتان در گلدهی مربوط به ژن *I-SST* و *I-FEH*-6-SFT ساقه بود. بیان بالاتر همراه با تولید بالاتر فروکتان و افزایش ظرفیت ذخایر ساقه در رقم به با عملکرد بالاتر این رقم در شوری همبستگی دارد.

### واژه‌های کلیدی

تنش شوری

گندم

فروکتان

بیان ژن

### Real time PCR

## مقدمه

ذخایر کربوهیدرات همراه می‌باشد (Zhang et al. 2009). ژن IVR نیز در بیوسنتر اینورتاز واکوئلی<sup>۵</sup> نقش دارد که منجر به هیدرولیز ساکارز به گلوکز و فروکتوز می‌شود و بیان آن در پاسخ به تنش‌های غیرزیستی در انتهای دوره پر شدن دانه افزایش می‌یابد (Koch 1996). تحت تنش خشکی انتهای فصل کاهش بیان اینورتاز واکوئلی و کاهش سرعت هیدرولیز ساکارز در شروع گلدهی با افزایش تجمع قند محلول ساقه گندم در این مرحله ارتباط مستقیم دارد (Xue et al. 2008).

محل اصلی ذخیره ساکارز در سلول، واکوئل است و انتقال و ذخیره سازی آن در واکوئل توسط ساکارز ترانسپرتر<sup>۶</sup> واقع در تونوپلاست صورت می‌گیرد (Endler et al. 2006). در زمان بارگذاری آوند آبکش، جابجایی ساکارز در عرض غشا از طریق حاملین ساکارز صورت می‌گیرد. بیان ژن مربوط به پروتئین ساکارز ترانسپورتر (SUTI) محدود به سلول‌های همراه آوند آبکش در برگ پرچم و غلاف آن بوده ولی محصول آن هم در آوند و هم سلول همراه وجود دارد (Scosfield et al. 2007).

فعالیت ساکارز ترانسپرتر تابعی از تغییرات غلظت قند در اندام منبع بوده و سیگنانل قندی تسهیم آسیمیلات‌ها را در سطح انتقال به آوند آبکش کنترل می‌کند (Daniels et al. 1982).

در رابطه با تاثیر شوری بر چگونگی تغییر الگوی ظاهر ژن‌های دخیل در متابولیسم فروکتان و روند تغییرات این قند طی دوره پر شدن دانه در شرایط تنش شوری مطالعات بسیار محدودی صورت گرفته است. لذا در این بررسی محتوای فروکتان ساقه با نحوه پاسخ‌دهی ژن‌های کلیدی مسیر متابولیسم فروکتان به تنش شوری در مرحله گلدهی دو رقم حساس و متحمل گندم مورد بررسی قرار گرفته است.

## مواد و روش‌ها

## کشت گیاه و اعمال تنش

دو رقم گندم بم (متتحمل به شوری) (Ranjbar et al. 2010) و قدس (حساس به شوری) (Poustini and Siosemardeh 2004) در گلخانه تحقیقاتی پژوهشکده بیوتکنولوژی کشاورزی ایران، در

تنش شوری از جمله مهم‌ترین عوامل کاهش عملکرد گیاهان زراعی می‌باشد که ابتدا با محدود کردن پتانسیل اسمزی آب خاک منجر به محدود شدن آب قابل دسترس و در مراحل بعدی به دلیل تجمع یون سدیم در گیاه منجر به القای تنش یونی می‌شود. از مهم‌ترین راهکارهای تحمل به شوری در ارقام متتحمل، تجمع اسمولیت‌ها و کربوهیدرات‌های محلول غیر ساختاری برای مقابله با تنش اسمزی و محصور سازی یون سدیم در واکوئل برای مقابله با تنش یونی می‌باشد (Botella et al. 2007).

از مهم‌ترین کربوهیدرات‌های محلول ساقه غلات که در تنظیم گندم، به کمک آنزیم‌های ساکارز-ساکارز فروکتوزیل ترانسفراز<sup>۱</sup> (I-SST) و فروکتان- فروکتوزیل ترانسفراز<sup>۲</sup> (6-SFT) (Blum. 1998) با اتصال دو ساکارز به یکدیگر و آزادسازی یک فروکتوز و در نهایت تشکیل ۱- کستوز صورت می‌گیرد و توسعه زنجیره فروکتان با پیوند (۶-۲) $\beta$  به کمک آنزیم ساکارز-فروکتان فروکتوزیل ترانسفراز<sup>۳</sup> ادامه می‌یابد و منجر به تولید اینولین می‌شود (Xue et al. 2008). ژن‌های I-SST و 6-SFT از ژن‌های کلیدی مسیر بیوسنتر فروکتان هستند که افزایش بیان آنها در شروع گلدهی تحت تنش خشکی مطالعه شده است (Daniels et al. 1982).

ولی تاثیر شوری بر بیان آنها تاکنون بررسی نشده است. نقش مهم دیگری که فروکتان به عهده دارد و به ویژه در تنش خشکی بسیار مطالعه شده که شرکت در فرایند انتقال مجدد می‌باشد. تجزیه‌پذیری بالای این قند به ساکارز و فروکتوز طی هیدرولیز توسط فروکتوزیل اگروهیدرولاز<sup>۴</sup> (1-FEH) و اینورتاز واکوئلی (IVR) و انتقال به دانه‌های در حال پر شدن از طریق ناقلین غشایی مانند ناقل ساکارز (SUTI) نقش کلیدی در تولید عملکرد در شرایط تنش و محدودیت منبع اینها می‌کند. این فرایندها مستلزم دخالت ژن‌های متعددی است. ژن 1-FEH در بیوسنتر آنزیم فروکتان اگروهیدرولاز دخالت دارد و افزایش بیان آن طی خشکی انتهای فصل در ساقه با افزایش انتقال مجدد

<sup>1</sup> Sucrose:sucrose 1-fructosyltransferase (1-SST)

<sup>2</sup> Fructan:fructan 1-fructosyltransferase (1-FFT)

<sup>3</sup> Sucrose:fructan 6-fructosyltransferase (6-SFT)

<sup>4</sup> Fructan 1-exohydrolase (1-FEH)

<sup>5</sup> Vacuolar invertase (IVR)

<sup>6</sup> Sucrose transporter (SUT)

NCBI صورت گرفت (جدول ۱). در این تحقیق ژن خانه دار *PHG*<sup>۲</sup> به عنوان کنترل داخلی (Paolacci et al. 2009) برای نرمال سازی داده‌ها استفاده شد.

استخراج RNA کل از ۱۰۰ میلی‌گرم بافت تر گیاه با استفاده از محلول تراپیزول (Invitrogen, life technology) انجام شد (Chomczynski 1987). اطمینان از کیفیت مطلوب و تعیین غلظت RNA طی اسپکتروفوتومتری و الکتروفورز روى ژل آگارز حاصل شد. آلدگی احتمالی DNA ژنومی با کیت Promega (RQ1 RNase-free DNase)DNase1 شد. جهت اطمینان از حذف DNA، RNA تیمار شده با آنزیم DNase1 به عنوان الگو به همراه آغازگر ژن *PHG* در واکنش PCR قرار گرفت.

واکنش ستز cDNA با استفاده از کیت BIO-RAD, iScript و واکنش cDNA synthesis kit (BIO-RAD, iQ Syber Green) Supermix BIO-RAD انجام شد. تعیین کارایی (E) هر جفت آغازگر در واکنش Real time PCR با تهیه ۵ سری رقت با دو تکرار از مخلوط cDNA و رسم منحنی استاندارد و تعیین شیب خط با فرمول زیر محاسبه شد:

$$E = \frac{1}{10} \times (\text{شیب خط}^{-1})$$

میزان بیان ژن با روش Pfaffl (Efficiency adjusted  $\Delta\Delta Ct$ ) میزان بیان ژن با روش *PHG* به عنوان محاسبه شد. همه داده‌ها با ژن خانه دار (حدت کنترل داخلی نرمال و تغییرات بیان ژن نسبت به شاهد (حالات نرمال رقم متتحمل به) سنجیده شد.

#### تجزیه آماری

تحقیق حاضر به صورت آزمایش فاکتوریل در قالب طرح کاملاً تصادفی با سه تکرار انجام شد. تجزیه و تحلیل داده‌ها با نرم افزار SAS Institute 2003 (SAS) و رویه GLM و مقایسه میانگین‌ها با استفاده از آزمون حداقل اختلافات معنی دار<sup>۳</sup> (LSD) در سطح معنی دار ۰/۰۵ صورت گرفت.

گلدان‌های حاوی سه کیلوگرم خاک با بافت لومی-رسی در قالب طرح کاملاً تصادفی با سه تکرار در سال ۱۳۹۰ کشت شدند. اعمال شوری از طریق انحلال کلرید سدیم در آب آبیاری با هدایت الکتریکی ۱۲ دسی زیمنس بر متر (معادل تقریباً ۱۲۰ میلی مولار) از مرحله گیاهچه‌ای تا پایان رشد انجام شد. میزان شوری خاک از طریق اندازه‌گیری هدایت الکتریکی آب زهکش گلدان به طور هفتگی کنترل شد. نمونه‌برداری برای بررسی بیان ژن در زمان گلدهی از بافت ساقه و برگ گیاهان مورد کشت در تیمارهای شاهد و شوری (با سه مشاهده در هر تکرار) صورت گرفت و پس از انجامد با نیتروژن مایع به فریزر -۸۰ درجه سانتی‌گراد منتقل شد. در زمان رسیدگی فیزیولوژیک، سنبله‌ها برداشت و عملکرد دانه با محتوای رطوبتی ۱۳ درصد بر حسب گرم در بوته محاسبه شد.

#### اندازه‌گیری قند

برای تعیین محتوای قند، نمونه‌برداری از ساقه از زمان گلدهی به فاصله هفت روز طی پنج نوبت انجام شد. محتوای قندهای هگزوز (گلوکز + فروکتوز) و فروکتان نمونه‌ها پس از استخراج به HPLC (Kenawer, Xue et al. 2008) با استفاده از RI و ستون Eurokat H (Germany) و بر حسب میلی‌گرم بر گرم ماده خشک گزارش شد.

#### اندازه‌گیری محتوای سدیم و پتاسیم

هشت هفته پس از اعمال تنفس، محتوای سدیم و پتاسیم برگ پرچم به روش فلیم فوتومتری اندازه‌گیری شد (Munns et al. 2010).

#### اندازه‌گیری بیان ژن

به منظور بررسی الگوی بیان پنج ژن دخیل در انتقال مجدد فروکتان ساقه در گندم شامل *I-SST*, *J-FEH*, *6-SFT*, *I-SUTI*<sup>۱</sup> و *SUTI* با روش Real time PCR بر اساس توالی ژن‌های مربوطه که از سایت OLIGO ver 5

<sup>2</sup> Similar to phosphogluconate dehydrogenase

<sup>3</sup> Least significant difference (LSD)

<sup>1</sup> <http://www.oligo.net/>

جدول ۱- فهرست جفت آغازگرهای مورد استفاده در بررسی الگوی بیان ژن‌های دخیل در متابولیسم و انتقال مجدد فروکتان

دماه اتصال (C°)	طول محصول (bp)	آغازگر برگشته (۵'→۳')	آغازگر رو به جلو (۳'→۵')	شماره دسترسی نام ژن
۸۸	۶۲	CATAGCCCTGTCAACAC	GCGACTCTGCCTATCACTTC	I-SST AB029888.1
۱۱۸	۶۱	CACGGATAGATGTTCTGTT	CGATCACTCGTATGTTCAAATG	6-SFT AB029887.1
۱۲۵	۶۱	GGCTATTCTTCTGCTG	AATGTGGAGAAGGGTGGAG	I-FEH AJ508387.1
۱۲۲	۶۲	GAGGGAGGAAGTCGCCGATC	ACGATGCCTCAGCCGCCCTG	IVR AF069309.1
۱۵۹	۶۰	CTGCTCTACGGAGTCCTTAG	TATTCCCTGCTGCCAAGATC	SUT/D AF408842.1
۹۲	۶۲	TGGGTTGGACGAAC TACAAG	ACTGGTGTTCAAGCTAAAG	PHG AK333249.1

جدول ۲- تجزیه واریانس عملکرد دانه در تک بوته (گرم)، مقدار سدیم ( $\text{Na}^+$ ) (میلی گرم بر گرم)، پتاسیم ( $\text{K}^+$ ) (میلی گرم بر گرم)،  $\text{Na}^+/\text{K}^+$ ، محتوای هگزوژها و فروکتان (میلی گرم بر گرم) در ارقام بم و قدس تحت تنش شوری

مجموع مرباعات							
فروکتان	هگزوژها	$\text{Na}^+/\text{K}^+$	$\text{K}^+$	$\text{Na}^+$	عملکرد	درجه آزادی	
۲۱۳**	۱۵۵**	۰/۰۰۰۱ ns	۲۸ ns	۴/۸ ns	۰/۰۰۱ ns	۱	ژنوتیپ
۲۹۶**	۲۱۳**	۲/۳۱۴**	۲۸۱*	۵۰۴۳**	۱/۳۰۲**	۱	شوری
۱۱۶۰**	۱/۷ ns	۰/۰۱۰ ns	۱۲۱ ns	۱/۱ ns	۰/۱۱۷**	۱	ژنوتیپ×شوری
۴۸	۸/۹	۰/۰۱۹	۲۱۷	۹۱/۱	۰/۰۰۷	۸	خطا

ns, \*\* بهتر ترتیب عدم اختلاف معنی دار و اختلاف معنی دار در سطوح پنج و یک درصد می باشد.

حداکثر محتوای فروکتان در هر دو رقم تحت تنش شوری در شروع گلدهی به دست آمد و سپس روند تغییرات نزولی بود (شکل ۲). با توجه به معنی دار شدن اثر متقابل حداکثر محتوای فروکتان (جدول ۲)، دو رقم در مواجهه با شوری در شروع گلدهی به طور کاملاً متفاوتی پاسخ دادند به طوری که میزان فروکتان در شروع گلدهی در رقم بم به طور قابل توجهی نسبت به تیمار شاهد افزایش یافت در صورتی که شوری محتوای فروکتان رقم قدس را در شروع گلدهی به طور معنی داری کاهش داد (شکل ۲). افزایش قابل توجه قندهای محلول ساقه در ارقام متحمل گندم طی شوری به جهت تنظیم اسمزی در تحقیقات دیگر گزارش شده است (Kerepesi and Galiba 2000).

نتایج تجزیه واریانس نشان داد میزان بیان ژن‌های مورد بررسی در شروع گلدهی به صورت معنی داری تحت تاثیر تنش شوری و یا اثر متقابل شوری با ژنوتیپ قرار گرفت (جدول ۳).

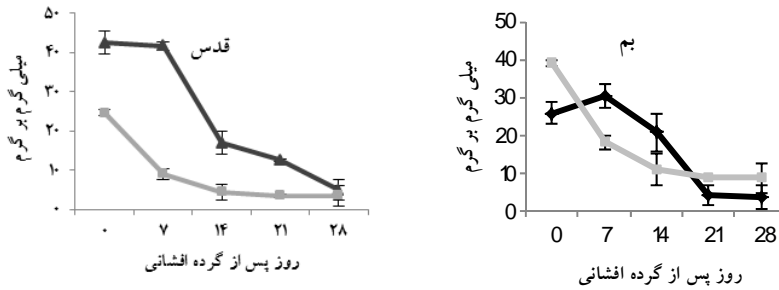
## نتایج و بحث

بر اساس نتایج تجزیه واریانس بین دو ژنوتیپ برای هگزوژ و فروکتان در سطح آماری یک درصد اختلاف معنی دار وجود داشت ولی برای بقیه صفات تفاوت معنی دار مشاهده نشد. همچنین اثر شوری بر عملکرد، سدیم، پتاسیم و نسبت سدیم به پتاسیم برگ و حداکثر محتوای هگزوژها و فروکتان ساقه معنی دار بود ولی اثر متقابل تنها برای عملکرد و حداکثر فروکتان ساقه معنی دار شد که حاکی از پاسخ متفاوت دو رقم به تنش شوری برای این صفات بود (جدول ۲).

برش دهی اثر متقابل برای صفت عملکرد دانه نشان داد تنش شوری باعث کاهش عملکرد دانه در هر دو رقم مورد بررسی شد ولی تولید عملکرد در رقم حساس قدس تحت تیمار شوری به طور معنی داری پایین تر از عملکرد در رقم بم بود (شکل ۱). بررسی تغییرات فروکتان در طول دوره پر شدن دانه نشان داد



شکل ۱- مقایسه میانگین عملکرد دانه در بوته (گرم) بین سطوح شاهد و شوری برای هر رقم به طور جداگانه. حروف متفاوت بین سطوح شوری در هر رقم نشان‌دهنده تفاوت معنی دار در سطح ۰/۰۵ می‌باشد.



شکل ۲- روند تغییرات فروکتان ساقه در ارقام بم و قدس از شروع گلدهی

جدول ۳- تجزیه واریانس بیان ژن‌های مورد بررسی در زمان گلدهی در برگ و ساقه ارقام بم و قدس در تیمارهای شاهد و شوری

	مجموع مربيعات												منبع تغییرات	درجه آزادی		
	برگ						ساقه									
	SUT1	IVR	1-FEH	6-SFT	1-SST	SUT1	IVR	1-FEH	6-SFT	1-SST						
ژنتیک	۰/۰۰۸ ns	۰/۴**	۰/۱۶ ns	۸۳۳۱۸۷**	۷۱۷۳۶۲**	۰/۰۰ ns	۰/۲۱**	۰/۳۷**	۴۵۱*	۱۳۵۰**	ژنوتیپ	۱				
شوری	۰/۷*	۰/۱۲**	۰/۵۸۸**	۷۴۰۰ ns	۱۸۲۰۴۰**	۰/۳۳**	۳/۲**	۰/۰۰۸	۱۱۴۱**	۱۱۷۸**	شوری	۱				
شوری×ژنوتیپ	۰/۰۴۱ ns	۰/۰۰۳ ns	۰/۵۳۳۳**	۵۳۸۶۸*	۰/۰۸ ns	۰/۰۷*	۰/۲۷**	۰/۰۷*	۲۳۷۹۹***	۵۸۳۹**	خطا	۱				
خطا	۰/۵	۰/۰۸	۰/۶۶	۵۲۹۵۹	۱۰۳۵۵	۰/۰۶	۰/۰۱	۰/۰۱	۵۲۹	۶۰۱		۸				

ns, \*\* بدتریب عدم اختلاف معنی دار و اختلاف معنی دار در سطوح پنج و یک درصد می‌باشد.

شرایط تنفس شوری در ساقه نشان داد که تنفس شوری اعمال شده از ابتدای فصل رشد، منجر به القای بیان این ژن در رقم متholm بم شد که با افزایش معنی دار فروکتان و تجمع کربوهیدرات قابل انتقال در این رقم همراه بود ولی شوری بیان این ژن و همچنین محتوای فروکتان را در رقم حساس قدس کاهش داد (شکل ۳-الف و شکل ۴-ب). بر اساس نتایج سایر محققین نیز افزایش بیان I-SST در شروع گلدهی در ساقه با افزایش بیوسنتر فروکتان همراه بوده است (Yang et al. 2004). بیان این ژن در برگ نیز

بر اساس نتایج به دست آمده میزان بیان I-SST در ساقه و برگ در ابتدای گلدهی تیمار شاهد در رقم قدس بیشتر از بم بود که با توجه به یکسان بودن شرایط این تفاوت احتمالاً ناشی از ویژگی های ذاتی و ژنتیکی خود ارقام می‌باشد. مقدار فروکتان ساقه نیز در تیمار شاهد رقم قدس به طور معنی داری بالاتر از بم بود. در تحقیق (2012) Joudi et al. نیز رقم حساس CHF در مرحله گلدهی در هر دو تیمار شاهد و تنفس به طور معنی داری فروکتان بیشتری از رقم متholm شعله داشت. مطالعه بیان این ژن تحت

*SST* در تیمار شاهد رقم قدس بالاتر از بم بود. بیان 6-*SFT* برگ و افزایش بیان آن در پاسخ به تنش سرما و خشکی در گندم همراه با افزایش تجمع فروکتان برگ برای تنظیم اسمزی و افزایش توانایی گیاه برای جذب آب توسط محققین دیگر گزارش شده است (Kawakami and Yoshida 2005).

تغییرات بیان ژن *I-FEH* در زمان گلدهی طی تنش شوری در هیچ‌یک از دو رقم بم و قدس برای ساقه معنی‌دار نبود. بر اساس مطالعات انجام شده در تنش خشکی، بیان ژن مربوط به این آنزیم در زمان گلدهی ارتباط مشخصی با کربوهیدرات‌های محلول ساقه ندارد (Xue et al. 2008).

بررسی بیان در برگ نشان داد در مرحله گلدهی، تنش شوری منجر به القای بیان در هر دو رقم شد (شکل ۶) ولی افزایش بیان در رقم قدس بیشتر بود. فعالیت این آنزیم در شروع گردهافشانی و طول دوره بیوسنتر و ذخیره‌سازی فروکتان، با شکستن انتخابی پیوندهای بتا ۱،۲ در فروکتان امکان تشکیل پیوندهای (۲-۶) $\beta$  را به وجود می‌آورد (Van den Ende et al. 2003). القای بیان این ژن در برگ در شوری می‌تواند از طریق تجزیه فروکتان و افزایش تجمع هگزوزها در برگ، در تنظیم اسمزی دخالت داشته و پاسخی به شوری باشد (Garcia et al. 2011).

بر اساس نتایج به دست آمده میزان بیان این ژن در شروع گلدهی در ساقه رقم بم طی تنش کاهش یافت ولی تغییرات مشاهده شده در قدس معنی‌دار نبود (شکل ۷). در مطالعه انجام شده بر روی تأثیر تنش شوری بر گیاه متحمل کرفس نیز میزان بیان *SUT1* در تمام اندام‌ها از جمله ساقه کاهش یافت (Noiraud and Lemoine 2000).

فعالیت ساکاراز ترانسپرتر تابعی از تغییرات غلظت قند در برگ بوده و تسهیم آسیمیلات‌ها را در سطح انتقال به آوند آبکش کنترل می‌کند (Aoki et al. 2007). افزایش بیان ژن‌های دخیل در تجمع کربوهیدرات‌های محلول ساقه برای تنظیم اسمزی در رقم بم در شرایط شوری می‌تواند اثر کنترلی منفی بر روی میزان بیان *SUT1* در ساقه داشته باشد در صورتی که در رقم قدس طی تنش شوری اختلاف معنی‌داری در بیان ژن‌های دخیل در بیوسنتر و تجمع قندهای محلول نسبت به شاهد مشاهده نشد.

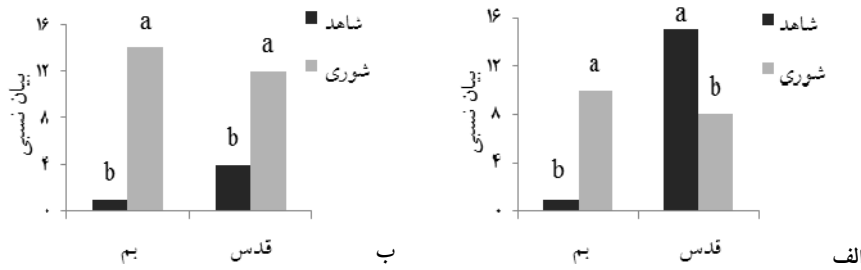
تحت تنش شوری اعمال شده از ابتدای فصل در هر دو رقم افزایش یافت ولی میزان افزایش بیان در برگ رقم بم (حدود ۱۴ برابر) به طور معنی‌داری بیشتر از قدس (حدود ۳ برابر) بود (شکل ۳-ب). به نظر می‌رسد افزایش بیان این ژن در برگ، افزایش تولید فروکتان و در نتیجه القای تنظیم اسمزی را در رقم بم تحت تنش شوری به دنبال داشته باشد.

بر اساس نتایج به دست آمده در تیمار شوری، میزان بیان ژن 6-*SFT* ساقه در رقم متتحمل بم در مرحله گلدهی، به طور معنی‌داری افزایش یافت ولی در رقم حساس قدس کاهش یافت (شکل ۴-الف). در تیمار شاهد قدس همانند ژن *I-SST*، بیان ژن 6-*SFT* به طور معنی‌داری بالاتر از بم بود. رقم بم با افزایش بیان ژن‌های *I-SST* و 6-*SFT* طی شرایط تنش، ذخیره بالاتری از فروکتان در ساقه داشت (شکل ۴-ب) لذا بهمنظور افزایش پتانسیل اسمزی جهت تحمل تنش، محتوای ذخایر کربوهیدرات محلول ساقه را در تنش شوری افزایش داد. بین میزان بیان این ژن با مقدار فروکتان در شروع گلدهی به میزان ۹۱/۰ در سطح احتمال ۵۰/۰ همبستگی مثبت و معنی‌دار وجود داشت.

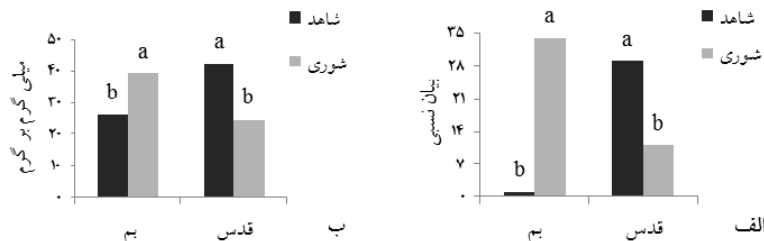
بر اساس نتایج Xue et al. (2008) در شرایط تنش خشکی در شروع گلدهی افزایش بیان 6-*SFT* همراه با 1-*SST* در ساقه با افزایش بیوسنتر فروکتان همراه بود ولی میزان بیان ژن‌های 1-*SST* و 6-*SFT* و غلظت‌های مختلف قند محلول ساقه در مرحله گلدهی در ژنوتیپ‌های مختلف گندم متفاوت بود. طی تجمع قندهای محلول در ساقه گندم، میزان فروکتان‌های با درجه پلیمریزاسیون بیشتر از ۵ افزایش می‌یابد در حالی که میزان فروکتان با درجه پلیمریزاسیون ۳ تا ۵ پس از رسیدن به حداقل خود ثابت باقی می‌ماند (Zhang et al. 2009). افزایش درجه پلیمریزاسیون در قندهای کستوتریوز مانند ۶-کستوز با فعالیت آنزیم 6-*SFT* و ۱-*FFT* مرتبط می‌باشد (Xue et al. 2008). تحت تنش خشکی قند ۶-کستوز که بیوسنتر آن توسط آنزیم 6-*SFT* کنترل می‌شود بیشترین غلظت را در ساقه ارقام گندم شعله و CHF داشته است (Joudi et al. 2012).

میزان بیان 6-*SFT* در برگ تحت شرایط تنش شوری اعمال شده از ابتدای فصل رشد در رقم بم به طور معنی‌داری افزایش ولی در قدس کاهش یافت (شکل ۵). مقدار پایه بیان این ژن نیز مانند 1-

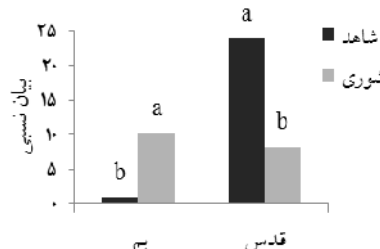
### اثر شوری بر بیان ژن‌های کلیدی متابولیسم فروکتان در ...



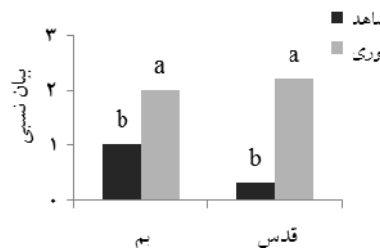
شکل ۳- نمودار مقایسه میانگین (الف) بیان ژن *I-SST* در ساقه و (ب) در برگ در مرحله گلدهی بین سطوح شاهد و شوری برای هر رقم به طور جداگانه. حروف متفاوت بین سطوح شوری در هر رقم بیانگر تفاوت معنی دار در سطح ۰/۰۵ می باشد.



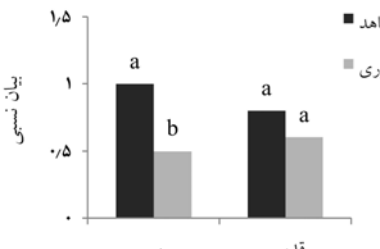
شکل ۴- (الف) نمودار مقایسه بیان ژن *SFT-6* ساقه و (ب) محتوای فروکتان ساقه در شروع گلدهی بین سطوح شاهد و شوری برای هر رقم به طور جداگانه (ستون تیره: شاهد، ستون روشن: شوری). حروف متفاوت بین سطوح شوری در هر رقم نشان دهنده تفاوت معنی دار در سطح ۰/۰۵ می باشد.



شکل ۵- نمودار مقایسه بیان ژن *SFT-6* برگ در زمان گلدهی بین سطوح شاهد و شوری برای هر رقم به طور جداگانه (ستون تیره: شاهد، ستون روشن: شوری) حروف متفاوت بین سطوح شوری در هر رقم بیانگر تفاوت معنی دار در سطح ۰/۰۵ است.



شکل ۶- نمودار مقایسه بیان ژن *FEH-I* برگ در زمان گلدهی بین سطوح شاهد و شوری در هر رقم به طور جداگانه (ستون تیره: شاهد، ستون روشن: شوری) حروف متفاوت بین سطوح شوری در هر رقم بیانگر تفاوت معنی دار در سطح ۰/۰۵ است.

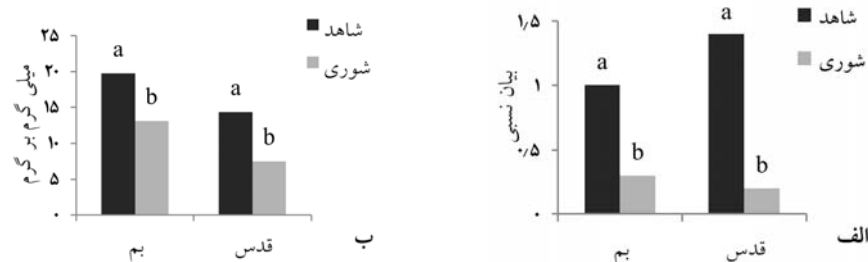


شکل ۷- نمودار مقایسه بیان ژن *SUT1* ساقه در شروع گلدهی بین سطوح شاهد و شوری برای هر رقم به طور جداگانه (ستون تیره: شاهد، ستون روشن: شوری) حروف متفاوت بین سطوح شوری در هر رقم بیانگر تفاوت معنی دار در سطح ۰/۰۵ است.

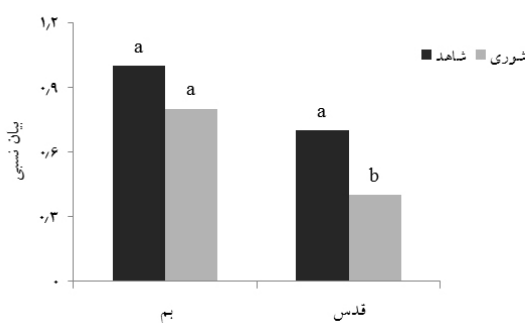
سعی در صرفه‌جویی مصرف ساکاراز دارد. اندازه‌گیری همزمان قندهای گلوکز و فروکتونز نیز حاکی از کاهش قندهای هگزوز بود (شکل ۸-ب) که به نظر می‌رسد به دنبال کاهش بیان ژن *IVR* رخ داده باشد. بر اساس نتایج (Xue et al. 2008) کاهش بیان این ژن در مرحله گلدهی در تیمار خشکی انتهای فصل نیز اتفاق افتاد. طبق نظر این محققین کاهش فعالیت هیدرولازی اینورتاز روی ساکاراز، در تجمع قندهای محلول ساکاراز و فروکتان در ساقه اهمیت دارد.

میزان بیان *SUT1* در برگ طی تنفس در هیچ‌یک از دو رقم تغییر معنی‌داری نشان نداد. در مطالعه انجام شده طی خشکی انتهای فصل نیز میزان بیان ساکاراز ترانسپرتر در برگ گندم طی گلدهی اختلاف معنی‌داری با شاهد نداشت (Xue et al. 2008).

بر اساس نتایج به دست آمده در هر دو رقم بم و قدس، در شروع گلدهی میزان بیان اینورتاز در ساقه طی شوری به ترتیب به میزان ۳۷۳ و ۷ برابر کاهش یافت که این کاهش در قدس به طور قابل توجهی شدیدتر بود (شکل ۸-الف). کاهش بیان این ژن در شرایط شوری در هر دو رقم نشان می‌دهد گیاه در واکنش به تنفس



شکل ۸-الف) نمودار بیان ژن *IVR* در ساقه (نسبت به شاهد رقم متتحمل در شروع گلدهی) و ب) مقدار قندهای هگزوز (گلوکز + فروکتونز) بین سطوح شاهد و شوری برای هر رقم به طور جداگانه (ستون تیره: شاهد، ستون روشن: شوری). حروف متفاوت بین سطوح شوری در هر رقم نشان‌دهنده تفاوت معنی‌دار در سطح ۰/۰۵ می‌باشد.



شکل ۹-نمودار مقایسه بیان ژن *IVR* برگ نسبت به شاهد رقم متتحمل در شروع گلدهی بین سطوح شاهد و شوری برای هر رقم به طور جداگانه (ستون تیره: شاهد، ستون روشن: شوری) حروف متفاوت بین سطوح شوری در هر رقم نشان‌دهنده تفاوت معنی‌دار در سطح ۰/۰۵ می‌باشد.

بیان اینورتاز واکوئلی در برگ، باعث تجمع ساکاراز و ایجاد علامتی برای ورود برگ به فرآیند پیری شده در حالی که در رقم متتحمل بم حفظ بیان اینورتاز در مرحله گلدهی به تداوم فتوستراتر برگ کمک می‌کند. در مطالعه انجام شده روی ذرت، میزان اینورتاز محلول واکوئلی برگ در تیمار شاهد در شروع گلدهی و اوایل تشکیل دانه رو به افزایش رفت ولی در اثر تنفس آبی این افزایش در اندام‌های منع متوقف شد که با کاهش قندهای احیا و

بیان اینورتاز در بافت برگ هر دو رقم نیز کاهش یافت ولی این کاهش در رقم بم معنی‌دار نبود (شکل ۹). در برگ‌ها به ویژه در گیاهان تکلیف به طور معمول فعالیت اینورتازهای اسیدی بالاست ولی در تنفس خشکی انتهای فصل کاهش فعالیت اینورتاز برگ در ارقام مورد مطالعه مشاهده شده است (Joudi et al. 2012). به نظر می‌رسد افزایش معنی‌دار نسبت سدیم به پتاسیم برگ پرچم در رقم حساس قدس در مواجهه با شوری همراه با کاهش شدید

شرایط محدودیت منبع نقش کلیدی در تولید عملکرد ایفا می‌کند. همچنین به نظر می‌رسد کاهش همزمان بیان *SUT1* و *IVR* در شروع گلدهی در ساقه رقم بم، به ترتیب با محدود کردن انتقال ساکارز و کاهش تجزیه آن طی شوری، در فراهم آوردن ذخایر ساکارز برای بیوستزر فروکتان و در نتیجه تنظیم اسمزی دخالت دارد. برای روشن شدن توانمندی ارقام مورد بررسی در تجزیه و انتقال فروکتان نیاز است تا تغییرات بیان ژن‌های مورد بررسی در زمان‌های بیشتری مورد مطالعه قرار گیرند.

#### سپاسگزاری

بدین‌وسیله نویسنده‌گان مراتب تشکر خود را از پژوهشکده بیوتکنولوژی کشاورزی ایران به دلیل فراهم آوردن امکانات مالی و اجرایی این پژوهه ابزار می‌دارند.

افزایش ساکارز همراه بود (Zinselmeier et al. 1995). به طور کلی تنظیم بیان ژن‌هایی که به طور مستقیم با تولید یا مصرف هگزوزها در ارتباط هستند یکی از مکانیزم‌های سلوی در مدیریت تجمع هگزوزها طی تنفس اسمزی در برگ گندم معرفی شده است (Xue et al. 2008).

#### نتیجه‌گیری کلی

افزایش بیان ژن‌های *I-SST* و *6-SFT* ساقه رقم متحمل بم و محتوای فروکتان ساقه در این رقم تحت تنفس شوری بیان‌گر این است که رقم متحمل بم از پتانسیل بالایی در غنی‌سازی ساقه از ذخایر کربوهیدرات محلول فروکتان تحت شرایط تنفس شوری برخوردار است و روند نزولی تغییرات این قند در ساقه هر دو رقم مورد بررسی نشان می‌دهد استفاده از این ذخیره قندی در

#### منابع

- Aoki N, Scofield GN, Hirose T, Furbank RT (2007) Involvement of the sucrose transporter, OsSUT1, in the long-distance pathway for assimilate transport in rice. *Journal of Experimental Botany* 58: 3155-3169.
- Blum A (1998) Improving wheat grain filling under stress by stem reserve mobilization. *Euphytica* 100: 77-83.
- Botella MA, Rosado A, Bressan A, Hasegawa PM (2007) plant adaptive responses in to salinity stress. In: aHPM Jenk AM (Editor), *Plant abiotic stress*. Blackwell USA, pp. 37-70.
- Chomczynski P (1987) Single step method of RNA isolation by acid guanidinium thiocyanat phenol-chloroform extraction. *Analys of Biochemistry* 163: 156-159.
- Daniels RW, Alcock WB, Scarisbrick DH (1982) A reappraisal of stem reserve contribution to grain yield in spring barley (*Hordeum vulgare* L.). *Journal of Agricultural Sciences* 98: 347-355.
- Ehdaie B, Alloush GA, Madore MA, Waines JG (2006) Genotypic variation for stem reserves and mobilization in wheat: II. Postanthesis changes in internode water-soluble carbohydrates. *Crop Science* 46: 2093-2103.
- Endler A, Meyer S, Schelbert S, Schneider T, Weschke W, Peters S W, Keller F, Baginsky S, Martinoia E, Schmidt U G (2006) Identification of a vacuolar sucrose transporter in barley and *Arabidopsis* mesophyll cells by a tonoplast proteomic approach. *Plant Physiology* 141: 196-207.
- Garcia PM, Asenga AF, Silva EA, Carvalho MA (2011) Effect of drought and re-watering on fructan metabolism in *Vernonia herbacea* (Vell.) Rusby. *Plant Physiology and Biochemistry* 49: 664-70.
- Joudi MA, Mohamadi A, Abbasi V, Vergauwen A, Mohammadi R, Van den Ende W (2012) Comparison of fructan dynamics in two wheat cultivars with different capacities of accumulation and remobilization under drought stress. *Physiologia Plantarum* 144: 1-12.
- Kawakami A, Yoshida M (2005) Fructan:fructan 1-fructosyltransferase, a key enzyme for biosynthesis of graminan oligomers in hardened wheat. *Planta* 223: 90-104.
- Kerepesi I, Galiba G (2000) Osmotic and Salt Stress-Induced Alteration in Soluble Carbohydrate Content in Wheat Seedlings. *Crop Science* 40: 482-487.
- Koch KE (1996) Carbohydrate-Modulated Gene Expression in Plants. *Annual Review Plant Physiology and Plant Molecular Biology* 47: 540- 549.
- Munns R, Wallace PA, Teakle NL (2010) Measuring soluble ion concentrations (Na(+), K(+), Cl(-)) in salt-treated plants. *Methods in Molecular Biology* 639: 371-82.
- Noiraud ND, Lemoine R (2000) The sucrose transporter of celery. Identification and expression during salt stress. *Plant Physiology* 122: 1447-1455.
- Paolacci AR, Tanzarella OA, Porceddu E, Ciaffì M (2009) Identification and validation of reference genes for quantitative RT-PCR normalization in wheat. *BMC Molecular Biology* 10: 11.
- Pfaffl MW (2001) A new mathematical model for relative quantification in real-time RT-PCR. *Nucleic Acids Research* 29: e45.
- Poustini K, Siosemardeh A (2004) Ion distribution in wheat cultivars in response to salinity stress. *Field Crops Research* 85: 125-133.

Ranjbar G, Cheraghi S, Qadir M (2010) Yield response of different wheat genotypes in saline areas of lower Karkheh river basin of Iran. American-Eurasian Journal of Agriculture and Environmental Sciences 8: 50-54.

SAS Institute. 2003. The SAS system for Windows. Release 9.1. SAS Institute Inc, Cary NC USA.

Scofield GN, Hirose,T, Aoki N, Furbank RT (2007) Involvement of the sucrose transporter, OsSUT1, in the long-distance pathway for assimilate transport in rice. Journal of Experimental Botany 58: 3155-69.

Van den Ende WDC, Clerens B, Vergauwen S, Van Laere A (2003) Unexpected presence of fructan 6-exohydrolases (6-FEHs) in non-fructan plants: characterization, cloning, mass mapping and functional analysis of a novel "cell-wall invertase-like" specific 6-FEH from sugar beet (*Beta vulgaris* L.). Plant Journal 36: 697-710.

Xue GPM, Jenkins CL, Glassop CL, Herwaarden AF, Shorter R (2008) Molecular dissection of variation in carbohydrate metabolism related to water-soluble carbohydrate accumulation in stems of wheat. Plant Physiology 146: 441-54.

Yang J, Zhang J, Wang Z, Zhu Q, Liu L (2004) Activities of fructan- and sucrose-metabolizing enzymes in wheat stems subjected to water stress during grain filling. Planta 220: 331-43.

Zhang J, Dell B, Conocono E, Waters I, Setter T, Appels R (2009) Water deficits in wheat: fructan exohydrolase (1-FEH) mRNA expression and relationship to soluble carbohydrate concentrations in two varieties. New Phytologist 181: 843-850.

Zinselmeier C, Schussler JR, Jone RJ, Westgat ME (1995) Low water potential disrupts carbohydrate metabolism (*Zea mays* L.) ovaries. Plant Physiology 107: 385-391.